

УДК 537.226.82

© 1990

**АКТИВАЦИЯ АКУСТИЧЕСКИХ ФОНОНОВ В СПЕКТРАХ  
КОМБИНАЦИОННОГО РАССЕЯНИЯ СВЕТА  
СОРАЗМЕРНО МОДУЛИРОВАННЫХ ФАЗ  
КРИСТАЛЛА  $[N(CH_3)_4]_2ZnCl_4$**

*B. I. Торгашев, Ю. И. Юзюк, Ю. И. Дурнев*

Исследованы низкочастотные ( $\nu < 50 \text{ см}^{-1}$ ) поляризованные спектры КР кристалла ТМАТС—Zn в температурном диапазоне  $300 > T > 100 \text{ K}$ , включающем точки известных в этом соединении структурных фазовых переходов. В соразмерно-модулированных низкосимметричных фазах обнаружено «возгорание» линий с частотами ниже  $17 \text{ см}^{-1}$ . Показано, что эти линии соответствуют фононам поперечных акустических ветвей в  $\Gamma - \Sigma - X$  направлении нормальной фазы, попавших в центр зоны в результате мультиPLICATIONи элементарной ячейки. Установлено резкое падение релаксационного вклада в спектр рассеяния на частотах ниже  $20 \text{ см}^{-1}$  в фазах V и VI, что связывается с процессами упорядочения кристаллической решетки.

Тетраметиламмоний тетрахлороциннат  $[N(CH_3)_4]_2ZnCl_4$  (или сокращенно ТМАТС—Zn) принадлежит к изоморфному классу соединений  $[N(CH_3)_4]_2MX_4$ , где  $M = Zn, Cu, Co, Fe, Mn, \dots, X = Cl, Br, I$ , и в своей высокотемпературной нормальной фазе имеет структуру типа  $\beta$ -сульфата калия, описываемую пространственной группой  $Pnma-D_{2h}^{16}$  с четырьмя формулыми единицами в элементарной ячейке [1]. Во многих кристаллах этого семейства при охлаждении наблюдается каскад фазовых переходов в несоразмерно- и соразмерно-модулированные фазы с вектором модуляции, параллельным псевдогексагональной  $a$ -оси [2]. В работе [3] предложена единая фазовая  $p-T$  диаграмма, причем на ней каждому представителю семейства соответствует определенное сечение.

При нормальном давлении в кристалле ТМАТС—Zn имеет место следующая последовательность фазовых переходов [4]. Переход из нормальной (I) в несоразмерную (II) фазу наблюдается при температуре  $T_1 \approx 296 \text{ K}$ ; вектор несоразмерной модуляции близок к  $q_x \approx 0.42 a^*$ . Ниже  $T_c \approx 281 \text{ K}$  кристалл переходит в сегнетоэлектрическое состояние (III) с симметрией  $Pn2_1a-C_{2h}^0$  и упакованным  $a$ -параметром элементарной ячейки ( $q_x = 2a^*/5$ ). При дальнейшем охлаждении кристалл при  $T_1 \approx 277 \text{ K}$  фазовым переходом первого рода переходит в сегнетоэластическое состояние (IV) с  $q_x = a^*/3$  (имеет место утройство относительно нормальной фазы  $a$ -параметра элементарной ячейки), описываемое пространственной группой  $P\bar{2}_1/n1-C_{2h}^5$ . Эта соразмерно-модулированная сегнетоэластическая фаза стабильна в довольно широком интервале вплоть до  $T_2 \approx 176 \text{ K}$ . Ниже  $T_2$  модуляция вдоль  $a$ -оси исчезает, параметры ячейки новой моноклинной фазы V близки к соответствующим значениям нормальной фазы I, а ее симметрия описывается пространственной группой  $P112_1/a-C_{2h}^5$ . Этот фазовый переход между двумя сегнетоэластическими фазами существенно первого рода и сопровождается большими деформациями, которые часто приводят к растрескиванию образца. Еще ниже по температуре при  $T_3 \approx 155 \text{ K}$  кристалл вновь переходит в соразмерно-модулированную вдоль  $a$ -оси ( $q_x = a^*/3$ ) фазу, симметрия которой, однако, ромбическая  $P2_12_12_1-D_{2h}^1$ .

Динамическое поведение ТМАТС-Zn изучалось методами нейтронного рассеяния [5, 6], комбинационного рассеяния света [7-10], рассеяния Мандельштама—Бриллюэна [11, 12], ультразвука [13, 14]. Эти исследования показали, что более высокотемпературные переходы не вызваны нестабильностью какой-либо фононной ветви и мягкая мода не наблюдалась. Однако наблюдалось существенное смягчение сдвигового упругого модуля  $C_{55}$  в несоразмерной фазе примерно на 35 % [14], которое, как предположено, является следствием солитон-фононного взаимодействия. Что касается КР-спектроскопических исследований ТМАТС-Zn, то в них основное внимание уделено изучению внутренних мод.

С другой стороны, в настоящее время достоверно установлено, что в периодических слоистых средах (политипных кристаллах, сверхрешетках и т. д.) спектроскопическими методами можно наблюдать активацию акустических мод с ненулевыми волновыми векторами  $\mathbf{k}$  в направлении, перпендикулярном слоям. Эти моды становятся эффективно длинноволновыми и, следовательно, ИК- и КР-активными в силу свертывания зоны Бриллюэна при переходах в длиннопериодические фазы (состояния). Аналогичное явление должно иметь место в кристаллах при последовательных фазовых переходах с изменением трансляционного периода решетки. Однако, насколько нам известно, эта проблема до сих пор систематически не рассматривалась. Отметим лишь краткое сообщение на эту тему для кристаллов  $Rb_2ZnCl_4$  и  $Rb_2CoCl_4$  [15].

Необычные последовательности трансформации трансляционной периодичности при фазовых переходах в ТМАТС-Zn делают этот кристалл в этом смысле весьма перспективным объектом исследований. В данном сообщении исследован процесс активации акустических мод в соразмерно-модулированных фазах (с утройством периода ячейки) кристалла ТМАТС-Zn.

## 1. Техника эксперимента

Монокристаллы ТМАТС-Zn хорошего оптического качества были выращены из водного раствора по методике, описанной в [16]. Образцы для исследований размером  $2 \times 3 \times 4$  мм вырезались из несдвойникованных областей монокристалла, которые определялись в поляризованном свете. Точность вырезки граней параллелепипедного образца относительно кристаллографических осей нормальной фазы I определялась методом рентгеновской дифракции по известным параметрам элементарной ячейки ( $a=12.268$ ,  $b=8.946$ ,  $c=15.515$  Å) и отклонение не превышало  $\pm 1$  град.

Спектры комбинационного рассеяния получены на спектрометре ДФС-24 со стандартным оснащением. В качестве источника излучения использовался аргоновый лазер ( $\lambda=488$  нм) марки ILA-120. Эксперименты проводились для 90-градусной схемы рассеяния.

Температурные измерения проводились с использованием кварцевого оптического криостата проточного типа с использованием в качестве хладоагента паров жидкого азота. Точность измерения температуры  $\pm 1$  К, а ее стабилизации  $\pm 0.2$  К.

## 2. Экспериментальные результаты

На рис. 1 показаны спектры КР кристалла ТМАТС-Zn в ориентации  $c$  (aa)  $b$ , соответствующей полносимметричным модам. В этой работе мы исследуем только наиболее низкочастотную область спектра (ниже  $50$  см $^{-1}$ ) в соответствии с поставленной задачей. Самая низкочастотная линия вблизи  $26$  см $^{-1}$  в фазах I—III, вероятно, соответствует сдвиговой моде двух слоевых пакетов, перпендикулярных псевдогексагональной  $a$ -оси. По крайней мере значение частоты этой моды, оцененное из акустических данных [11-14], должно лежать в интервале  $25$ — $28$  см $^{-1}$ . Мода  $26$  см $^{-1}$

имеет сравнительно большую интенсивность для  $aa$ - и  $cc$ -компонент тензора КР, тогда как  $bb$ -компоненты значительно слабее. Довольно интенсивная линия с близкой частотой наблюдается в  $c$  ( $bc$ )  $b$ -ориентации, соответствующей фонам  $B_{3g}$ -симметрии. Это служит дополнительным аргументом в пользу предложенной идентификации этой линии как соответствующей жесткослоевой моде, поскольку в высокотемпературной плафазе  $D_{6h}^+$ -симметрии, реально наблюдающейся в ряде кристаллов этого структурного типа при высоких температурах, жесткослоевая транс-

ляция имеет  $E_{2g}$ -симметрию и при переходе в фазу  $D_{2h}^{18}$  расщепляется именно на  $A_g + B_{3g}$  компоненты.

Отметим одну характерную особенность низкочастотных спектров

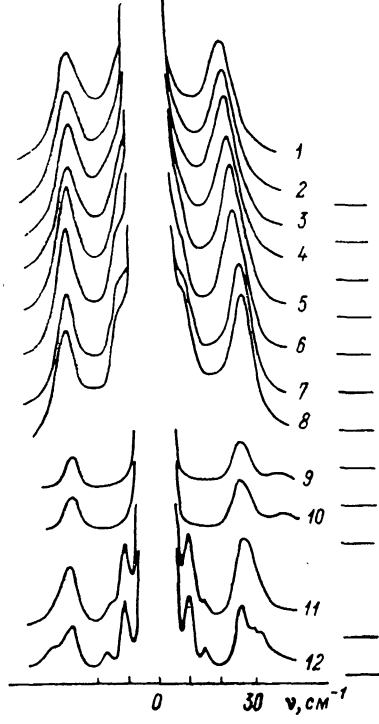


Рис. 1. Температурная эволюция низкочастотных спектров КР кристалла ТМАТС—Zn в ориентации  $c$  ( $aa$ )  $b$ .

Уровень фона показан горизонтальными линиями.  $T$ , К: 1 — 300, 2 — 282, 3 — 277, 4 — 271, 5 — 250, 6 — 230, 7 — 200, 8 — 180, 9 — 172, 10 — 157, 11 — 152, 12 — 115.

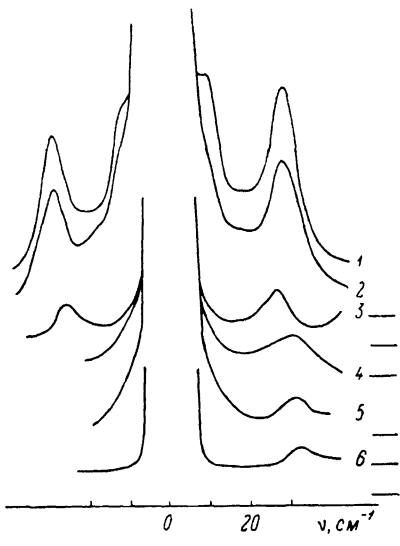


Рис. 2. Низкочастотная часть спектров КР кристалла ТМАТС—Zn в фазе IV при 180 К.

Оrientации: 1 —  $c$  ( $aa$ )  $b$ , 2 —  $a$  ( $cc$ )  $b$ , 3 —  $c$  ( $bb$ )  $a$ , 4 —  $c$  ( $bc$ )  $b$ , 5 —  $c$  ( $ac$ )  $b$ , 6 —  $c$  ( $ba$ )  $b$ .

в фазах I—IV: присутствие (во всех спектрах!) довольно интенсивных релаксационных хвостов вблизи рэлеевской линии, наиболее ярко выраженных в ориентациях  $c$  ( $aa$ )  $b$  и  $a$  ( $cc$ )  $b$  (рис. 2), что указывает на существование определенного разупорядочения (возможно, ориентационного типа) кристаллической решетки в этих фазах.

По мере дальнейшего понижения температуры в фазе IV из рэлеевской линии появляется линия вблизи  $10 \text{ cm}^{-1}$ , которая отчетливо видна только в ориентации  $c$  ( $aa$ )  $b$  (рис. 2).

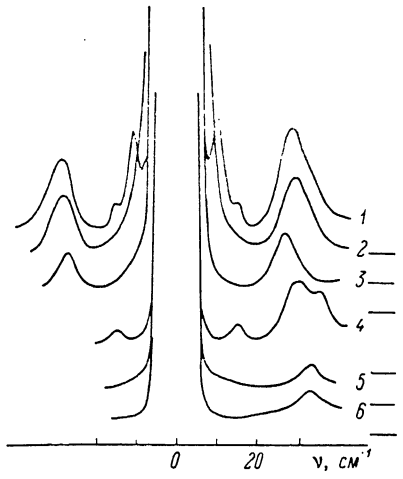
Переход IV—V между двумя сегнетоэластическими моноклинными фазами, одна из которых (IV) соразмерно модулирована (утроен  $a$ -период ячейки), а другая — нет, сопровождается скачкообразным исчезновением линии  $10 \text{ cm}^{-1}$  и существенным падением релаксационного вклада (рис. 1) в спектр рассеяния света на частотах ниже  $20 \text{ cm}^{-1}$ . Такая трансформация спектра, с одной стороны, безусловно свидетельствует о повышении трансляционной симметрии до нормальной, а с другой — о существенном упорядочении решетки, произошедшем в фазе V.

При переходе V—VI в низкочастотной области спектра в  $c$  ( $aa$ )  $b$ -ориентации скачкообразно «возгораются» две линии на частотах 11 и  $16 \text{ cm}^{-1}$ . При дальнейшем понижении температуры их частоты остаются

практически неизменными, а линия вблизи  $30 \text{ см}^{-1}$  расщепляется на три компоненты (рис. 1). В спектре  $c$  ( $bc$ )  $b$ -ориентации, соответствующей фононам  $B_3$ -симметрии пространственной группы  $D_2^1$ , также возгорается линия вблизи  $16 \text{ см}^{-1}$ , и ее интенсивность выше, чем в  $c$  ( $aa$ )  $b$ -ориентации (рис. 3). Описанная трансформация в этой области спектра совершенно определенно свидетельствует о том, что фаза VI вновь мультилицируется.

### 3. Обсуждение

Используя известные упругие модули [11-14] кристалла ТМАТС-Zn в фазе I и значения частот низколежащих оптических мод, можно рассчитать полуоколичноственно дисперсию низкочастотных фононных ветвей спектра. Такая процедура была осуществлена, и на рис. 4 показаны дисперсионные зависимости акустических ветвей в направлении  $\Gamma - \Sigma - X$



зоны Бриллюэна фазы I. При формировании картины фононной дисперсии в соразмерно-модулированных фазах мы считали, что приближение простого отображения дисперсионных ветвей на меньшие по размеру зоны Бриллюэна соразмерно-модулированных фаз III, IV, VI является довольно хорошим в силу трансляционной природы этих мод, поскольку они соответствуют движениям слоевых пакетов (элементарных

Рис. 3. Низкочастотная часть спектров КР кристалла ТМАТС-Zn в фазе VI при  $150 \text{ K}$ .  
Оrientations: 1 —  $c$  ( $aa$ )  $b$ , 2 —  $c$  ( $cc$ ,  $b$ ), 3 —  $c$  ( $bb$ )  $a$ ,  
4 —  $c$  ( $bc$ )  $b$ , 5 —  $c$  ( $ac$ )  $b$ , 6 —  $c$  ( $ba$ )  $b$ .

ячеек) как целого; при этом надо полагать, что образующиеся энергетические щели малы.

При мультиликации ячейки вдоль  $a$ -направления в фазах III, IV и VI в центры зон Бриллюэна этих фаз попадают  $\Sigma$ -фононы со следующей корреляцией неприводимых представлений (нумерация представлений в  $\Sigma$ -точках фазы I соответствует таблицам Ковалева [17]):

а) в фазе III симметрии  $Pn\bar{2}a$

$Pnma$ ( $q_x = 2a^*/5$ )	$Pn\bar{2}a$ ( $q = 0$ )	$Pnma$ ( $q_x = a^*/5$ )	$Pn\bar{2}a$ ( $q = 0$ )
$\Sigma_1 \rightarrow A_1 + B_2$		$\Sigma_1 \rightarrow A_2 + B_1$	$A_2 + B_1$ ( $bc$ ; $c$ )
$\Sigma_2 \rightarrow A_1 + B_1$		$\Sigma_2 \rightarrow A_1 + B_2$	$A_1 + B_2$ ( $ab$ ; $a$ )
$\Sigma_3 \rightarrow A_2 + B_1$		$\Sigma_3 \rightarrow B_2 + A_1$	$B_2 + A_1$ ( $a^2$ , $b^2$ , $c^2$ ; $b$ )
$\Sigma_4 \rightarrow A_2 + B_1$		$\Sigma_4 \rightarrow B_1 + A_2$	$B_1 + A_2$ ( $ac$ )

б) в фазах IV и VI симметрии  $P2_1/n11$  ( $2_1 \parallel a$ -оси) и  $P2_12_12_1$

$P2_1/n11$ ( $g = 11$ )	$Pnma$ ( $q_x = a^*/3$ )	$P2_12_12_1$ ( $g = 0$ )
( $ab$ , $ac$ )	$B_g + B_u \leftarrow \Sigma_1 \rightarrow B_1 + B_2$ ( $ac$ ; $b$ )	
( $b$ , $c$ )	$B_u + B_g \leftarrow \Sigma_2 \rightarrow B_2 + B_1$ ( $ab$ ; $c$ )	
( $a$ )	$A_u + A_g \leftarrow \Sigma_3 \rightarrow A + B_3$ ( $bc$ ; $a$ )	
( $a^2$ , $b^2$ , $c^2$ , $bc$ )	$A_g + A_u \leftarrow \Sigma_4 \rightarrow B_3 + A$ ( $a^2$ , $b^2$ , $c^2$ )	

В скобках рядом с символами Милликена неприводимых представлений центров зон соразмерно-модулированных фаз указаны ИК- и КР-активности соответствующих мод.

В соответствии с приведенной корреляцией и полуоколичноственною картиной зонной дисперсии акустических ветвей в КР спектрах фазы IV

ниже  $17 \text{ см}^{-1}$  должны наблюдаваться две линии  $A_g$ -симметрии, соответствующие  $\Sigma_3$ - и  $\Sigma_4$ -фононам поперечных акустических ветвей фазы I. Из рис. 4 видно, что энергетическая щель между этими модами чуть больше  $1 \text{ см}^{-1}$ , что меньше разрешающей способности нашего спектрометра. Поэтому возгорающаяся линия  $11 \text{ см}^{-1}$  в этой фазе, по-видимому, состоит из двух компонент.

В фазе VI  $\Sigma_3$  и  $\Sigma_4$  поперечные фононы должны дать по две линии в диагональных ориентациях для двух  $A$ -фононов и в  $(bc)$ -ориентации для  $B_3$ -фононов. Однако и здесь энергетическая разница между ними не должна быть велика. Как видно из рис. 3, линия  $11 \text{ см}^{-1}$  определено соответствует полносимметричным модам, а линия  $16 \text{ см}^{-1}$  —  $B_3$  модам. Безусловно, здесь имеется некоторая неоднозначность, поскольку слабая линия  $16 \text{ см}^{-1}$  присутствует в спектре с  $(aa)$   $b$  и ее можно было бы считать второй компонентой двух ожидаемых  $A$ -линий. Однако эта линия в ориентации  $c$   $(bc)$   $b$  несколько интенсивнее и, вероятно, все же неполносимметричные моды  $B_3$ -симметрии имеют частоты вблизи  $16 \text{ см}^{-1}$ . Появление же этой линии в  $c$   $(aa)$   $b$  спектре можно отнести за счет деполяризационных нарушений вследствие возникающей доменной структуры. По крайней мере деполяризация более высокочастотного спектра в фазах V и VI определено имеет место. Однако для однозначного ответа необходимо проведение

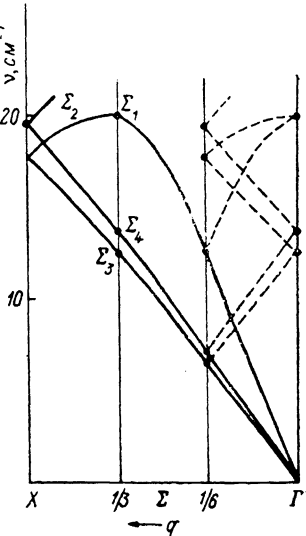


Рис. 4. Расчетные дисперсионные зависимости трех акустических ветвей кристалла ТМАТС—Zn в  $\Gamma$ — $\Sigma$ — $X$  направлении.

Штриховые линии — отображение ветвей на зону Бриллюзона соразмерно-модулированных фаз.

эксперимента на монодоменных образцах, чего мы не в состоянии были осуществить технически.

Некоторое количественное несоответствие экспериментальных частот и ожидаемых, согласно рис. 4, вполне объяснимо 5%-ным допуском для значений упругих модулей [11–14], большой разницей температурного интервала между фазой I, для которой проводился расчет, и областями существования фаз IV и VI, где экспериментально наблюдались возгорающиеся линии. Наконец, не следует забывать упрощенность используемого расчета дисперсионных зависимостей акустических ветвей, когда мы использовали для них простую синусную дисперсию для зоны Джонса. В работе [6] исследовалась поперечная акустическая ветвь кристалла d-TMATC—Zn методом нейтронного рассеяния, и она лежит немного ниже расчетных (рис. 4).

Отсутствие в самой низкочастотной области спектра в фазе III каких-либо новых возгорающихся линий вполне объяснимо, поскольку интенсивность возгорающихся жестких мод в низкосимметричной фазе пропорциональна  $(T_c - T)^n$ , где  $n$  — некоторое целое [18], область стабильности фазы III всего около  $4^\circ$ , и эти линии должны быть определенно очень слабыми, если возникающая искаженность решетки невелика (что, по-видимому, действительно имеет место в силу слабой трансформации более высокочастотного спектра), а на сильном релаксационном фоне, присутствующем в спектрах КР фазы, эти линии можно просто не зафиксировать.

## Список литературы

- [1] Wiesner J. R., Srivastava R. C., Kennard C. H. L., Di Vaira M., Lingafelter E. C. // Acta Cryst. 1967. V. 23. N 3. P. 565—575.
- [2] Sawada S., Shiroishi Y., Yamamoto A., Takashige M., Matsuo M. // J. Phys. Soc. Jap. 1978. V. 44. N 2. P. 687—688.
- [3] Yamada Y., Hamaya N. // J. Phys. Soc. Jap. 1983. V. 52. N 10. P. 3466—3474.
- [4] Tanisaki S., Mashiyama H. // J. Phys. Soc. Jap. 1980. V. 48. N 1. P. 339—340.
- [5] Marion G., Almariac R., Lefebvre J., Ribet M. // J. Phys. C. 1981. V. 14. N 22. P. 3177—3185.
- [6] Iizumi M., Gesi K. // Physica. 1983. V. 120B. N 1—3. P. 291—295.
- [7] Takashige M., Nakamura T. // Ferroelectrics. 1980. V. 24. N 1—4. P. 143—146.
- [8] Bon A. M., Almairac R., Nassiri P., Benoit C., Ribbet J. L. // Phys. St. Sol. (b). 1980. V. 101. N 1. P. K87—K91.
- [9] Tang S. H., Looi E. C., Radhakrishna S. // Phys. St. Sol. (b). 1986. V. 135. N 2. P. 519—522.
- [10] Pal M., Agarwal A., Khandelwal D. P., Bist H. D. // J. Raman Spectr. 1986. V. 17. N 4. P. 345—349.
- [11] Berger J., Benoit J. P. // Sol. St. Comm. 1984. V. 49. N 6. P. 541—542.
- [12] Karajamaki E., Laiho R., Levola T. J. // Phys. C. 1983. V. 16. N 34. P. 6531—6538.
- [13] Hoshizaki H., Sawada A., Ishibashi Y. // J. Phys. Soc. Jap. 1979. V. 47. N 1. P. 341—342.
- [14] Berger J., Benoit J. P., Garland C. W., Wallace P. W. // J. Physique. 1986. V. 47. N 3. P. 483—489.
- [15] Волков А. А., Гончаров Ю. Г., Козлов Г. В., Торгашев В. И. // Тез. XII Всес. конф. по физике сегнетоэлектриков. Ростов н/Д, 1989. Т. 1. С. 110.
- [16] Arend H., Perret R., Wüest H., Kerkoc P. // J. Cryst. Growth. 1986. V. 74. N 2. P. 321—325.
- [17] Ковалев О. В. Неприводимые представления пространственных групп. Киев, 1961. 153 с.
- [18] Petzelt J., Dvorak V. // J. Phys. C. 1976. V. 9. N 10. P. 1571—1601.

Ростовский-на-Дону  
государственный университет  
НИИФ

Поступило в Редакцию  
20 марта 1990 г.  
В окончательной редакции  
14 мая 1990 г.